

# СПИК СЗМА



Специализированная инжиниринговая  
компания

## Севзапмонтажавтоматика

г. Санкт-Петербург



# СПИК СЗМА

ISO 9001:2008

**МОЖАЕВА И.А., СТРУКОВ А.В.**  
**АО «СПИК СЗМА», С-Петербург,**  
**E-mail: info@szma.com**

Программно-методическое обеспечение проектной  
оценки показателей функциональной безопасности  
систем противоаварийной защиты опасных  
производственных объектов

**XX ВСЕРОССИЙСКАЯ  
НАУЧНО-ПРАКТИЧЕСКАЯ КОНФЕРЕНЦИЯ  
«АКТУАЛЬНЫЕ ПРОБЛЕМЫ ЗАЩИТЫ И БЕЗОПАСНОСТИ»**  
«Риск-ориентированные технологии обеспечения безопасности на  
потенциально опасных объектах в современных условиях»  
**Санкт-Петербург,  
05 апреля 2017 года**





Нормативные документы в сфере деятельности  
Федеральной службы по экологическому,  
технологическому и атомному надзору



Серия 27  
Декларирование промышленной  
безопасности и оценка риска

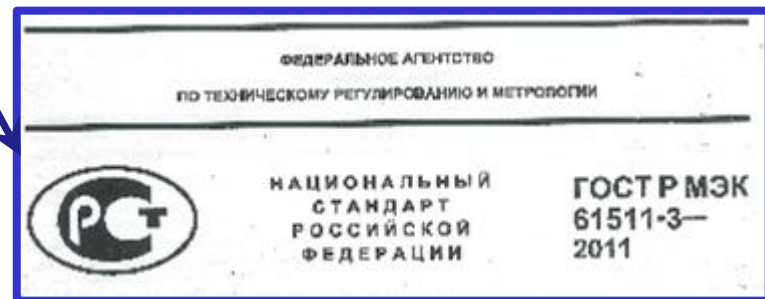
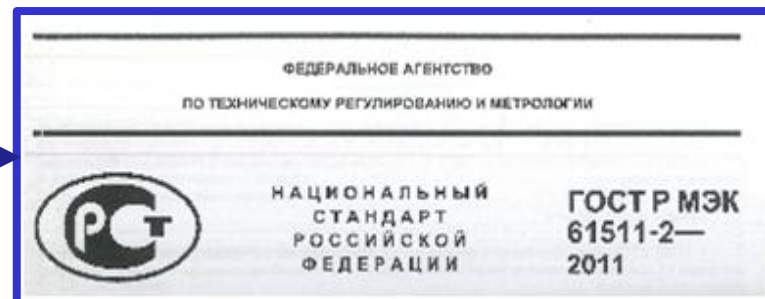
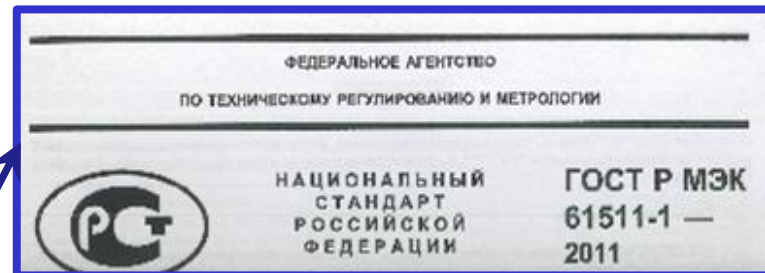
Выпуск 16

**РУКОВОДСТВО ПО БЕЗОПАСНОСТИ**  
**«МЕТОДИЧЕСКИЕ ОСНОВЫ ПО ПРОВЕДЕНИЮ**  
**АНАЛИЗА ОПАСНОСТЕЙ И ОЦЕНКИ РИСКА АВАРИЙ**  
**НА ОПАСНЫХ ПРОИЗВОДСТВЕННЫХ ОБЪЕКТАХ»**

2016

46. При анализе опасностей, связанных с отказами технических устройств, систем обнаружения утечек, автоматизированных систем управления технологическим процессом (АСУТП), систем противоаварийной защиты (ПАЗ) рекомендуется анализировать технический риск, показатели которого определяются соответствующими **методами теории надежности.**





В основе стандартов серии 61511 лежат две фундаментальные концепции:

- концепция ЖЦ безопасности;
- концепция УПБ.

УПБ	Минимально допустимое число отказов		
	SSF (ДБО)<60%	SSF (ДБО)960%	SSF (ДБО)>60%
1	1	0	0
2	2	1	0
3	3	2	1
4	Специальные требования		



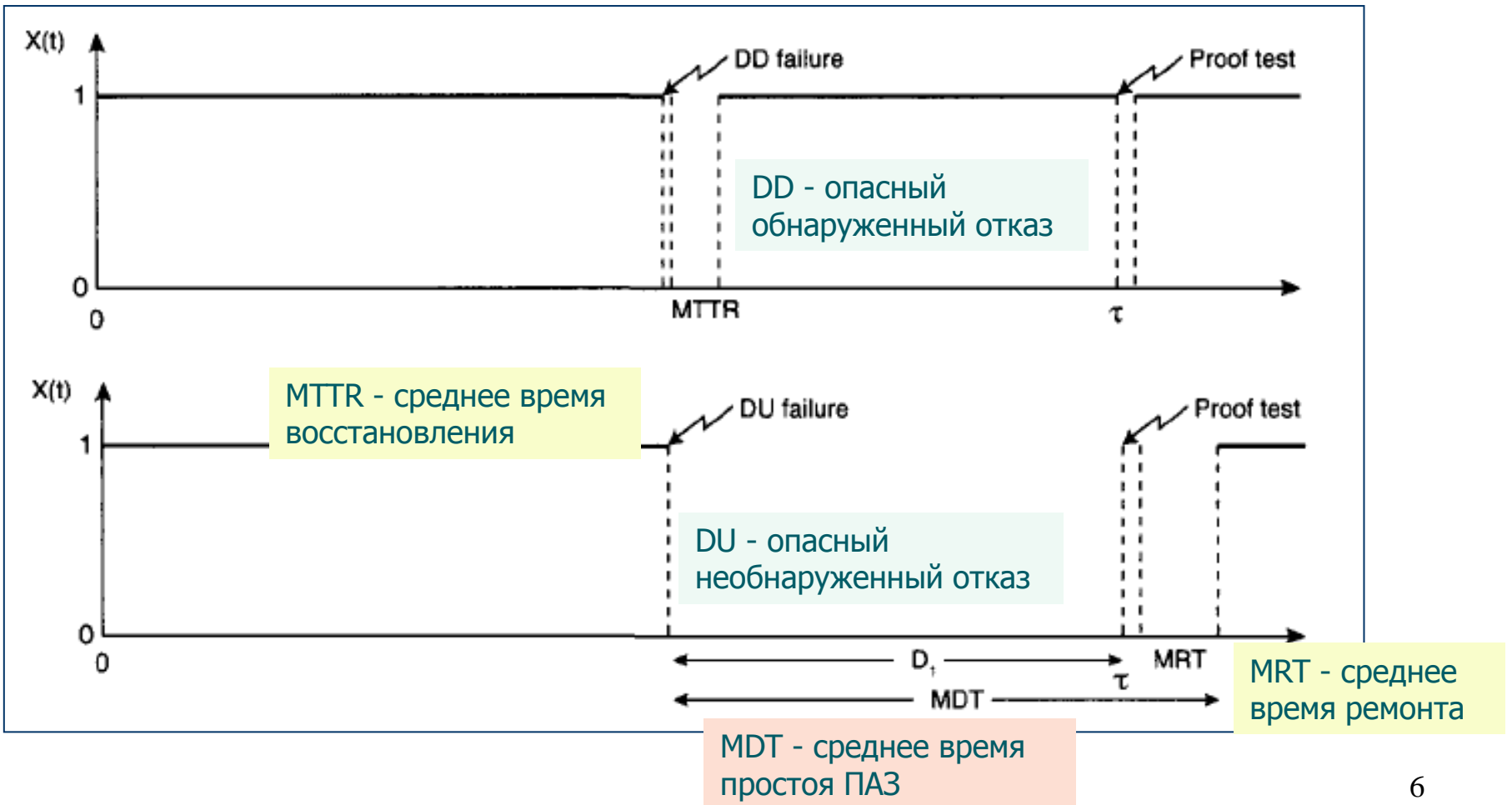
Минимально необходимые требования к архитектуре канала

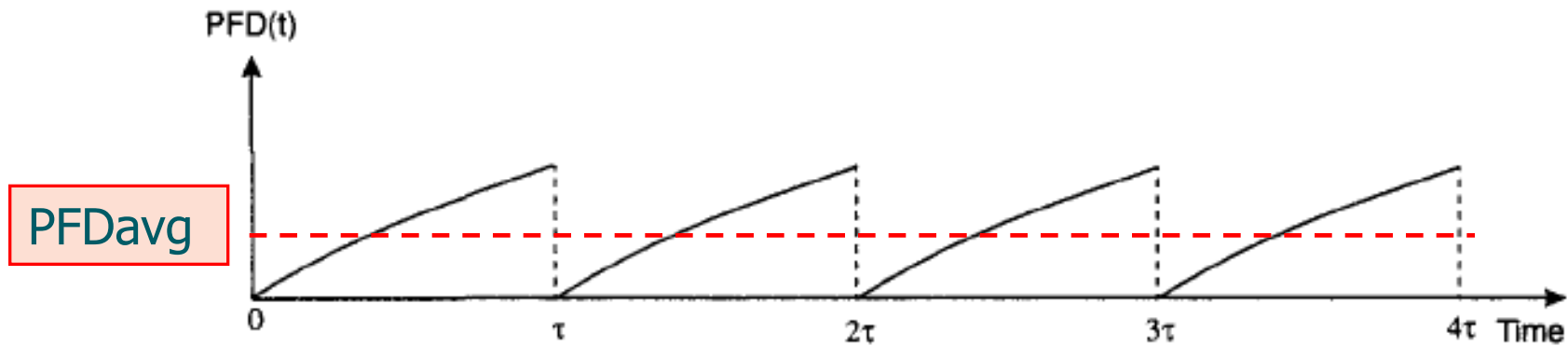
Уровень безопасности (SIL)	Режим с низким уровнем требований по требованию функции безопасности (средняя вероятность отказа в выполнении заданной функции безопасности по требованию)	Режим с высоким уровнем требований по требованию функции безопасности (вероятность опасного отказа в течении одного часа в режиме непрерывной работы)
4	$\geq 10^{-5} \text{ PFD} < 10^{-4}$	$\geq 10^{-9} \text{ PFH} < 10^{-8}$
3	$\geq 10^{-4} \text{ PFD} < 10^{-3}$	$\geq 10^{-8} \text{ PFH} < 10^{-7}$
2	$\geq 10^{-3} \text{ PFD} < 10^{-2}$	$\geq 10^{-7} \text{ PFH} < 10^{-6}$
1	$\geq 10^{-2} \text{ PFD} < 10^{-1}$	$\geq 10^{-6} \text{ PFH} < 10^{-5}$



Подбор компонентов, расчет PFD и уточнение архитектуры элементов канала

Расчет *PFD* основан на учете двух типов неготовности канала:  
1 - *неизвестная*, когда простой вызван DD (опасными необнаруженными) или DU (опасными обнаруженными) отказами;  
2 - *неизвестная*, когда простой вызван тестовыми проверками, плановыми ремонтами и т.п., когда можно включить другие слои защиты.





Неготовность на межпроверочном интервале есть отношение среднего времени простоя  **$E(D_1)$**  к величине межпроверочного интервала  **$\tau$** , то есть

$$\text{PFD} = \frac{E(D_1)}{\tau}$$

Среднее время простоя на межпроверочном интервале вычисляется как  $E(D_1) = \int_0^{\tau} F(t) dt$

где,  **$F(t)$**  – вероятность отказа канала.

Тогда

$$\text{PFD}_{\text{avg}} = \frac{1}{\tau} \int_0^{\tau} \text{PFD}(t) dt = \frac{1}{\tau} \int_0^{\tau} F(t) dt = 1 - \frac{1}{\tau} \int_0^{\tau} R(t) dt$$

где,  **$R(t)$**  – вероятность безотказной работы канала.

Алгоритмическая основа Методики - **приближенные формулы** стандарта IEC 61508-6 для расчета  $PFD_{avg}$  простых типовых архитектур.

### Основные допущения моделей расчета PFD:

- все каналы имеют постоянную интенсивность отказов ( $\lambda_I = \text{const}$ );
- все резервированные каналы имеют одинаковые интенсивности отказов и процент диагностического покрытия DC...

**Основная идея** IEC 61508-6 состоит в расчете  $PFD_{avg}$  канала, представленного как **один элемент**.

Расчет базируется на использовании **средней** групповой частоты опасных отказов  $\lambda_{DG}$  и **эквивалентном** групповом времени простоя  $t_{GE}$ .

$$PFD^{(G)}_{avg} = F(\lambda_{D,G}, t_{GE}, T1, MTTR, MTR)$$



Базовыми архитектурами для структурного анализа функциональной безопасности реальных ПАЗ выбраны :

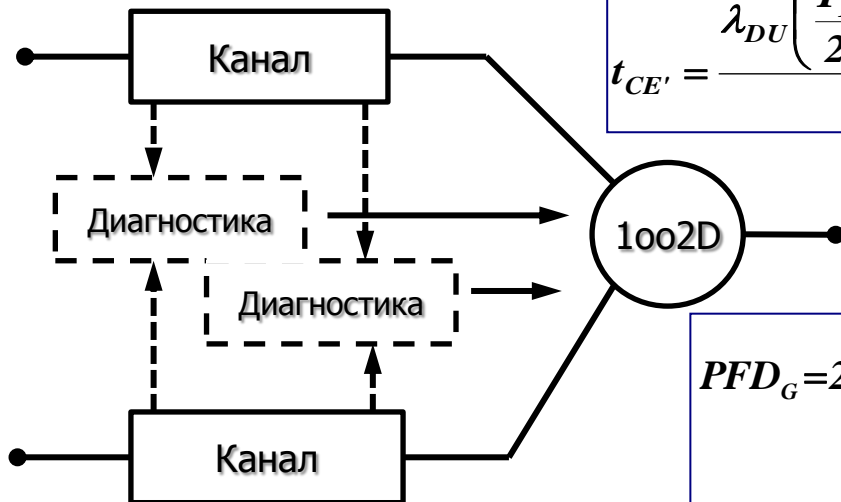
### архитектура 1oo1



$$t_{CE} = \frac{\lambda_{DU}}{\lambda_{DD}} \left( \frac{T_1}{2} + MRT \right) + \frac{\lambda_{DD}}{\lambda_D} MTTR$$

$$PFD_G = (\lambda_{DU} + \lambda_{DD}) t_{CE}$$

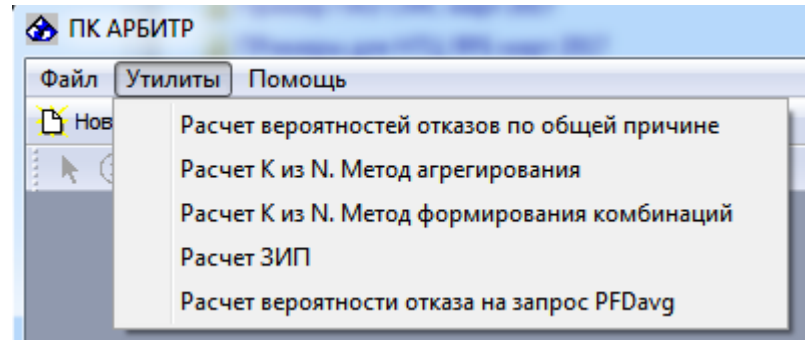
### архитектура 1oo2D



$$t_{CE'} = \frac{\lambda_{DU} \left( \frac{T_1}{2} + MRT \right) + (\lambda_{DD} + \lambda_{SD}) MTTR}{\lambda_{DU} + (\lambda_{DD} + \lambda_{SD})}, \quad t_{GE'} = \frac{T_1}{3} + MRT.$$

$$PFD_G = 2(1-\beta)\lambda_{DU}((1-\beta)\lambda_{DU} + (1-\beta)\lambda_{DD} + \lambda_{SD})t_{CE'}t_{GE'} + 2(1-K)\lambda_{DD}t_{CE'} + \beta\lambda_{DU} \left( \frac{T_1}{2} + MRT \right).$$

Для подготовки исходных данных разработана утилита «Расчет вероятности отказа на запрос PFDavg»



Расчет вероятности отказа на запрос PFDavg

Структура канала **Экспертная оценка Beta**

Частота запросов на выполнение функций безопасности  
 Низкая (расчет PFD)  Высокая (расчет PFH)

Среднее время ремонта, ч    %

T1 - Интервал времени между контрольными проверками, месяц  
  1  3  6  12  24  60  120

Полные исходные данные  Исходные данные для расчета по методике МЭК 61508

Ldu   1/ч  
 Ldd   1/год  
 Lsd   FIT  
 Lsu   FIT

Инт. опасных отказов LD  
 1/ч  1/год  FIT

Диагностическое покрытие DC, %  
 0  60  90  99

ИД для приближенного расчета  Неполные исходные данные

Инт. опасных необнаруживаемых отказов L DU  
 1/ч  1/год  FIT

Интенсивность отказов или Средняя наработка на отказ  
 1/ч  1/год  FIT  час  год

Расчет PFD/PFH 1oo1  SIL  Расчет PFD/PFH 1oo2D  SIL

# МЕТОДИКА ОЦЕНКИ ВЕРОЯТНОСТЕЙ ОТКАЗА АППАРАТНЫХ СРЕДСТВ СИСТЕМ, СВЯЗАННЫХ С БЕЗОПАСНОСТЬЮ (ПАЗ)

- 1. Основные термины и определения**
- 2. Общие положения**
  - 2.1 Методы и подходы**
  - 2.2 Предположения**
  - 2.3 Содержание методики**
    - 2.3.1 Формирование исходных данных**
    - 2.3.2. Расчет с помощью утилиты вероятностей отказа на запрос**
    - 2.3.3. Оценка вероятности отказа на запрос системы безопасности с применением ПК АРБИТР**

1. Формирование исходных данных, необходимых для расчета  $PFD_{avg}$  для всех элементов системы.



2. Расчет с помощью утилиты  $PFD_{avg}$  структур с архитектурой 1001 и 1002D по формулам стандарта ГОСТ Р МЭК 51508-6



3. Построение СФЦ в виде ССН или ДН канала ПАЗ и моделирование надежности с учетом особенностей построения голосующих групп в программной среде ПК АРБИТР.

По физическому смыслу PFD есть средняя неготовность системы на интервале между контрольными проверками.

Так как состояние системы безопасности полностью определяется состоянием ее элементов, тогда

$$PFD_{sys} = P\{PFD_1, \dots, PFD_i, \dots, PFD_n\},$$

$$PFH_{sys} = P\{PFH_1, \dots, PFH_i, \dots, PFH_n\},$$

где  $PFD_{sys}, PFH_{sys}$  - системные показатели функциональной безопасности;

$PFD_i, PFH_i$  - показатели функциональной безопасности  $i$ -го компонента;

$P\{\dots\}$  - структурная функция системы безопасности.



## Пример 1 (МЭК 61508-6)

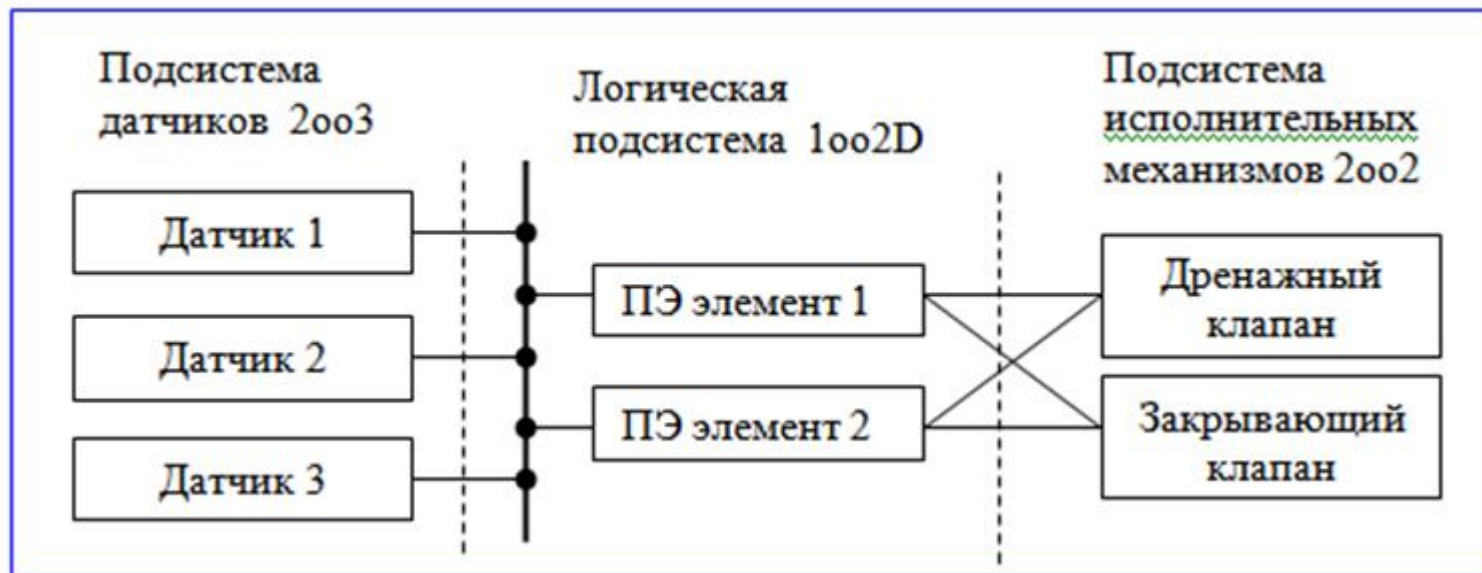


Рисунок В.14 – Архитектура системы рассматриваемого примера для режима низкой интенсивности запросов

1. Формирование исходных данных, необходимых для расчета PFD для всех элементов системы.

### I. ИД для всего канала:

1. Частота запросов на выполнение ФБ – низкая;
2. Интервал времени между контрольными проверками  $T_1=12$  мес.
3. Среднее время восстановления и средняя продолжительность ремонта  $MTTR= MRT=8$ ч.

### II. ИД по компонентам канала

Наименование элементов	$\lambda_D, 1/\text{ч}$	DC, %	$\beta, \%$	$\beta_D, \%$	$T_1, \text{мес}$	MTR, ч
Датчики	2.5E-6	90	20	10	12	8
ПЭ логические элементы	5.0-6	99	2	1	12	8
Дренажный клапан	2.5E-6	60	-	-	12	8
Закрывающий клапан	5.0-6	60	-	-	12	8

### III. ИД по архитектуре элементов канала

Наименование элементов	Архитектура
Датчики	2oo3
ПЭ логические элементы	1oo2D
Дренажный клапан	2oo2
Закрывающий клапан	

## 2. Расчет с помощью утилиты PFD структур с архитектурой 1001 и 1002D по формулам стандарта ГОСТ Р МЭК 51508-6

### Пример ввода ИД для датчика

Частота запросов на выполнение функций безопасности  
 Низкая (расчет PFD)  Высокая (расчет PFH)

T1 - Интервал времени между контрольными проверками, месяц  
12  1  3  6  12  24  60  120

Полные исходные данные  Исходные данные для расчета по методике МЭК 61508

Ldu   
Ldd   1/ч  1/год  FIT  
Lsd   
Lsu   FIT

Среднее время ремонта, ч  
8    
Beta  %  
MTTR  MRT

Инт. опасных отказов LD  
 1/ч  1/год  FIT

Диагностическое покрытие DC, %  
 0  60  90  99

### Пример ввода ИД для элемента логической подсистемы

Исходные данные для расчета по методике МЭК 61508

Инт. опасных отказов LD  
 1/ч  1/год  FIT

Диагностическое покрытие DC, %  
 0  60  90  99

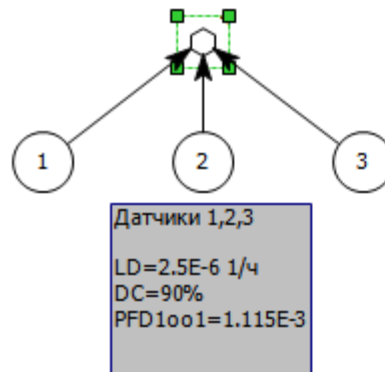
## Результаты расчета

Наименование элементов	Архитектура	PFD
Датчики	1001	1.115·E-03
ПЭ логические элементы	1002D	1.042·E-05
Дренажный клапан	1001	4.40·E-03
Закрывающий клапан	1001	8.80·E-03

### 3. Построение СФЦ в виде ССН или ДН канала ПАЗ и моделирование надежности с учетом особенностей построения голосующих групп в программной среде ПК АРБИТР.

Моделирование надежности подсистемы датчиков

а) ДН с архитектурой 2oo3



б) группа ООП

#### Изменение параметров

Общие

Номер события (элемента): 4

Детерминированное состояние:  К 2 N 3

Наименования:

События:

Исхода:

OK Отмена

Группа 1 (ООП Бета модель)				
1	0.001115	0	-1	1
2	0.001115	0	-1	1
3	0.001115	0	-1	1

#### Группа 1 (ООП Бета модель)

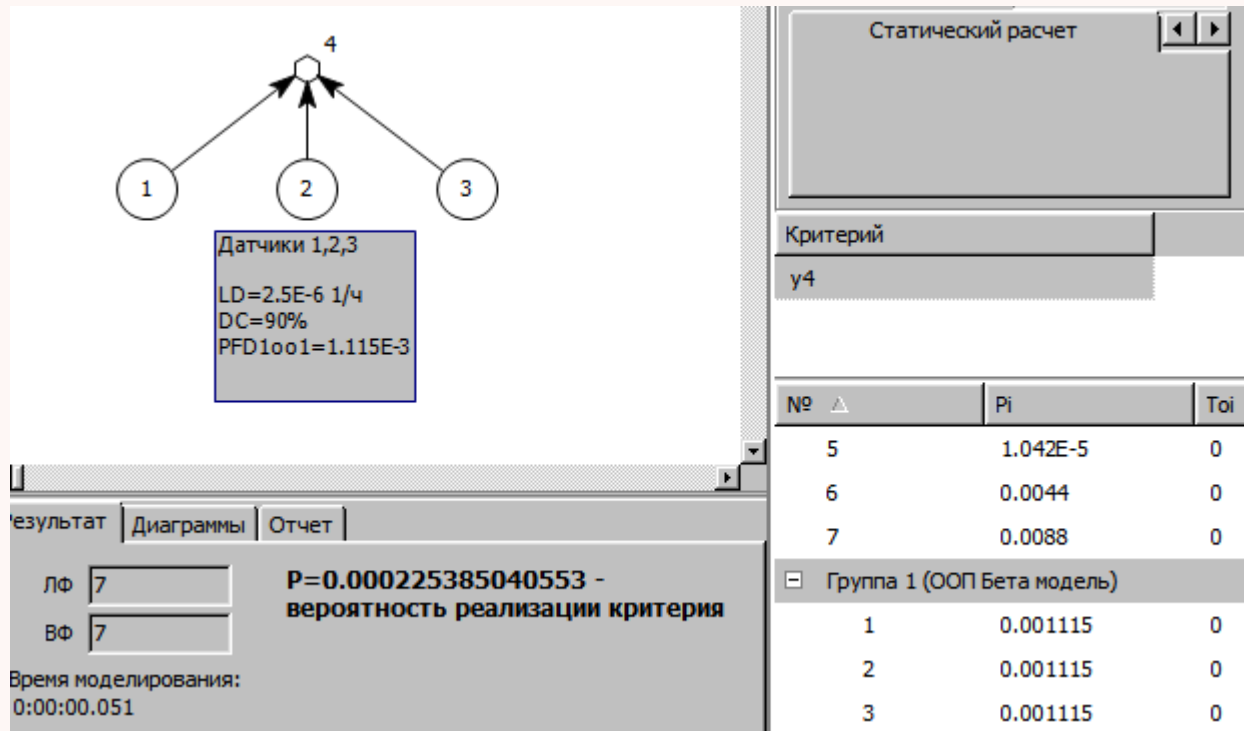
Число элементов группы ООП n= 3

Полная вероятность отказа одного элемента группы ООП

Бета-фактор  $\beta$ = 0.2

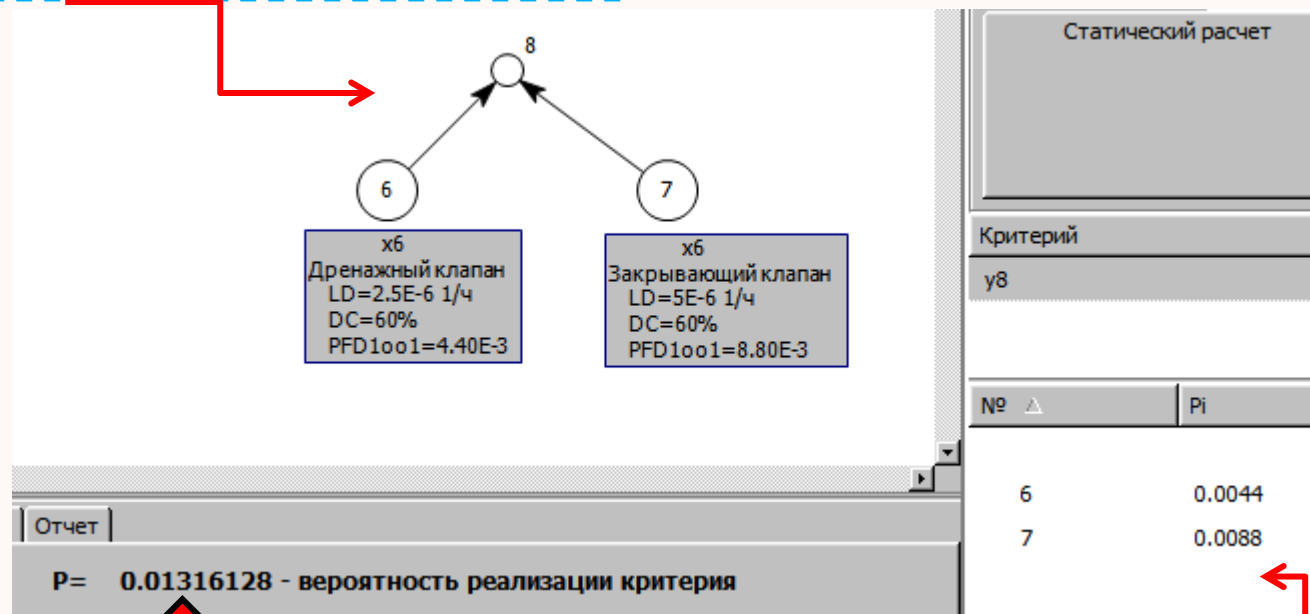


# Результаты моделирования надежности подсистемы датчиков



# Моделирование надежности подсистемы исполнительных механизмов

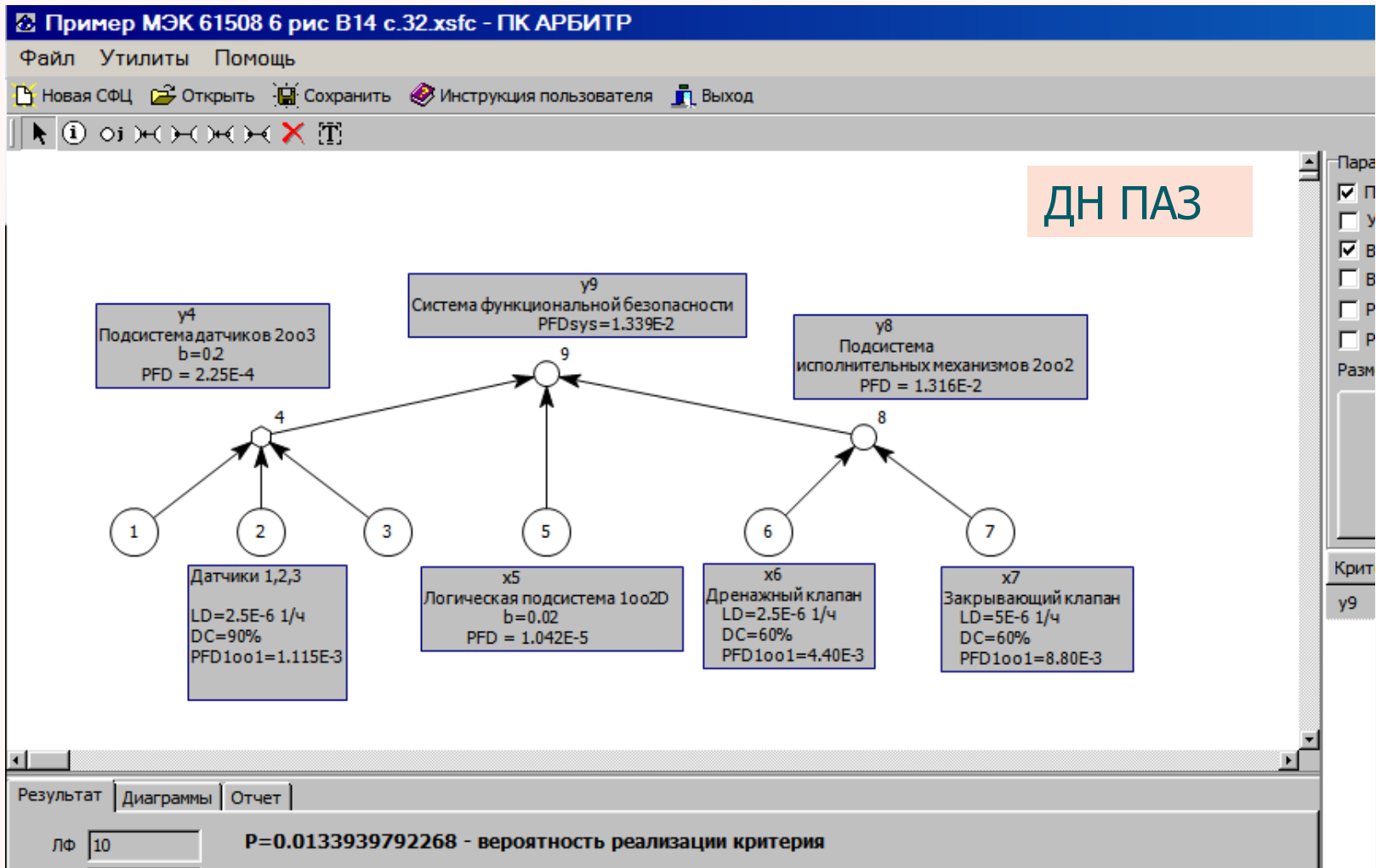
ДН исполнительных механизмов



Результаты  
моделирования

Исходные данные

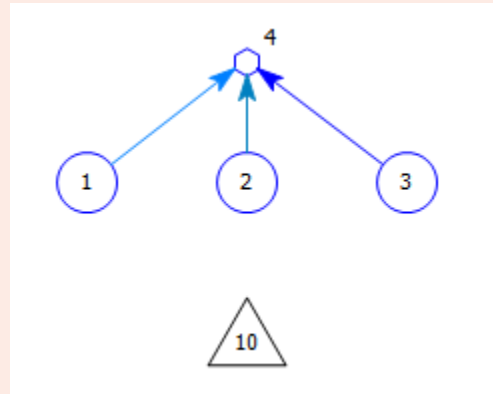
# Моделирование надежности ПАЗ



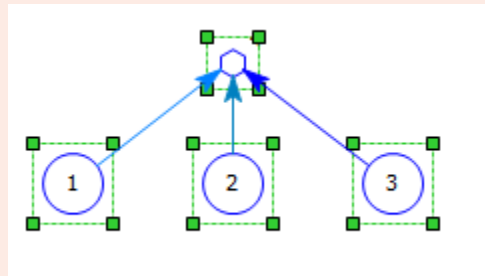
Результаты моделирования:  $PFD_{sys} = 1.34E-04$ ;  **SIL1**

# Формирование редуцированной СФЦ

1. Создание эквивалентированной вершины №10 для подсистемы датчиков

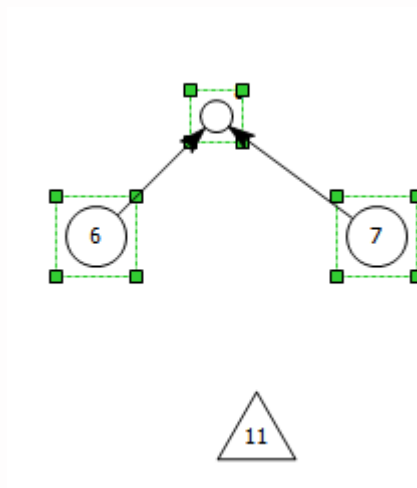


2. Копирование архитектуры подсистемы датчиков и перенос ее в вершину №10



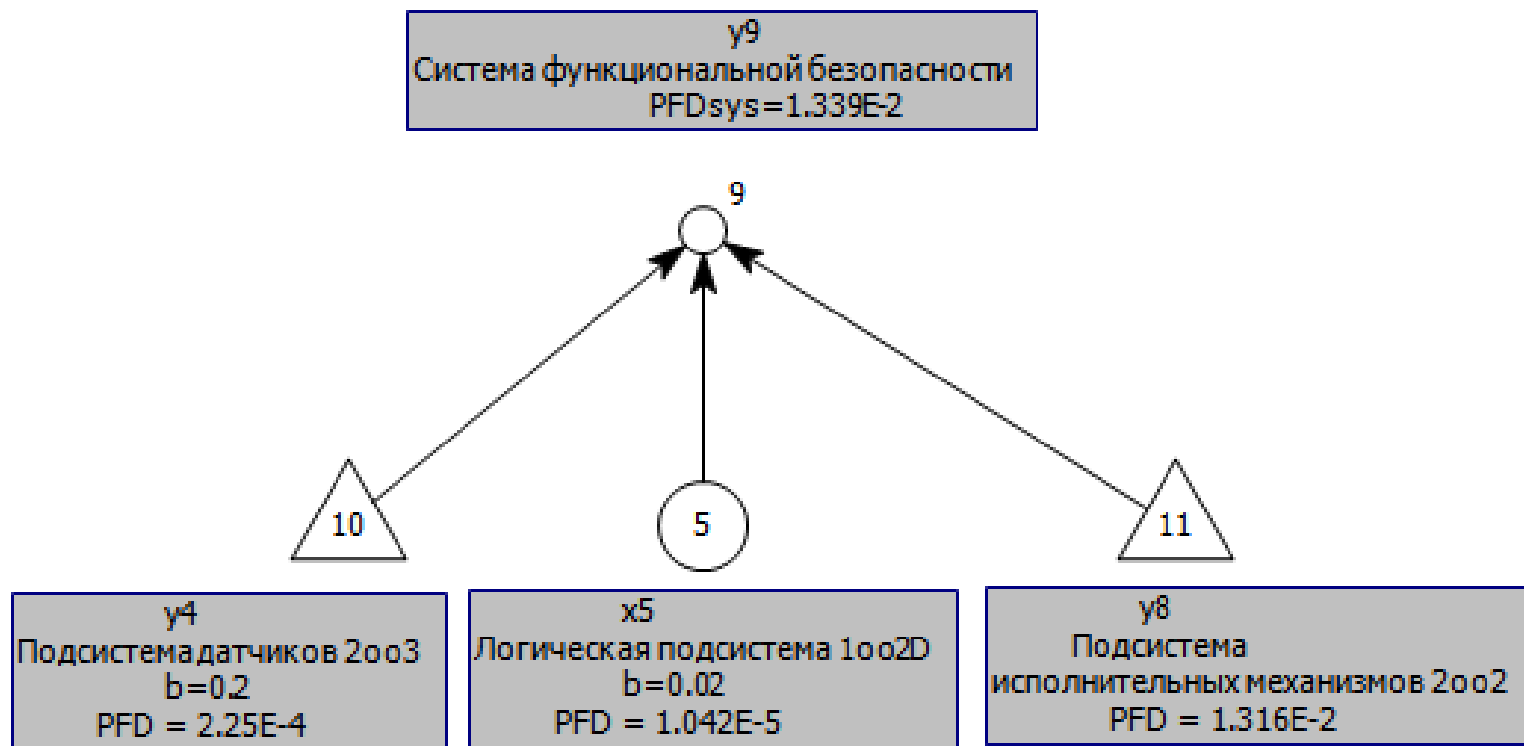
3. Создание эквивалентированной вершины №11 для подсистемы исполнительных механизмов

4. Копирование архитектуры подсистемы исполнительных механизмов и перенос ее в вершину №11

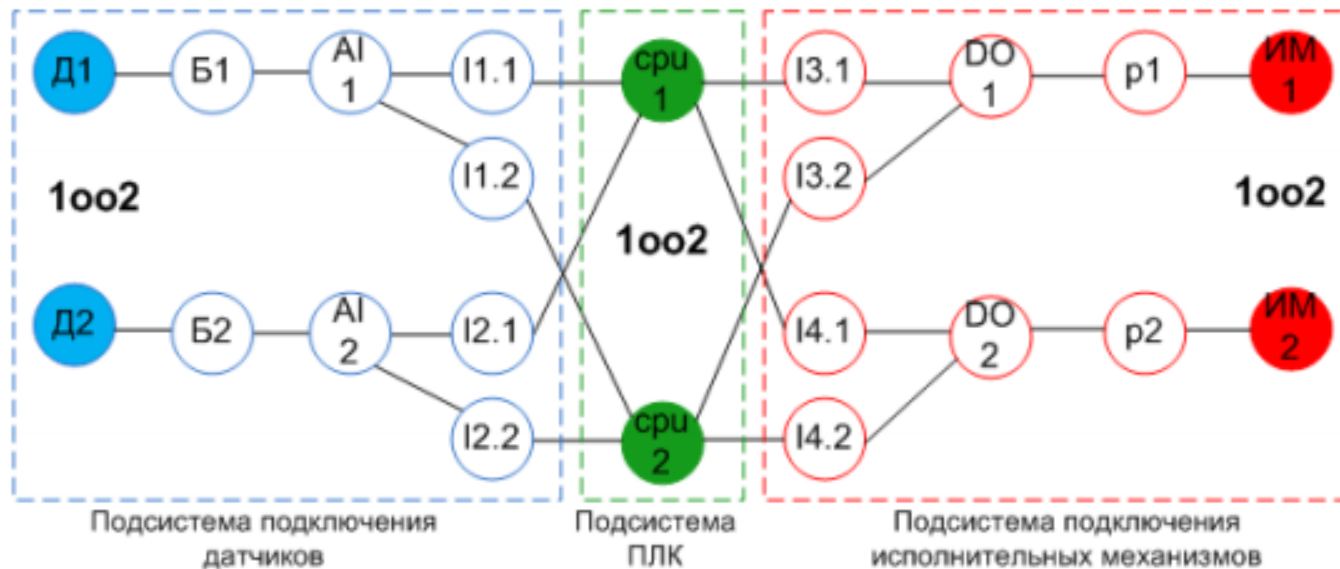
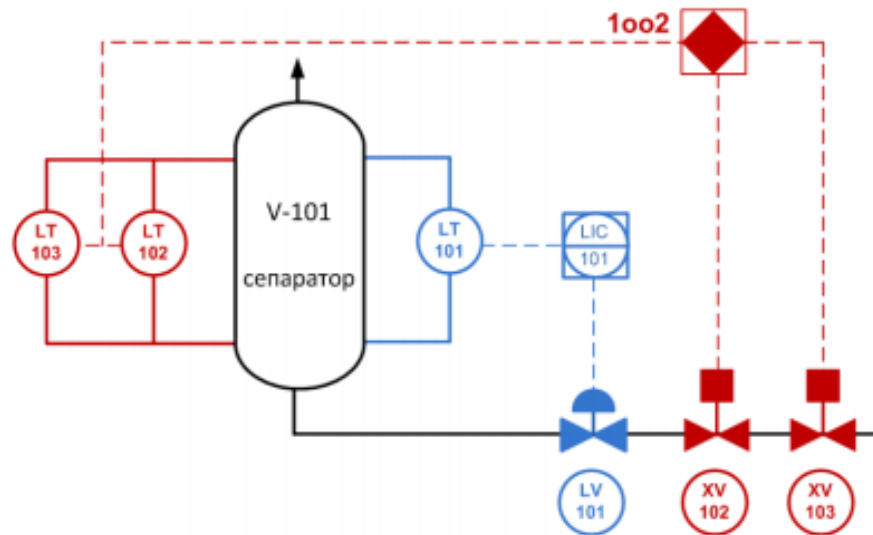




# Формирование редуцированной СФЦ



# Пример 2 Подтверждение УПБ контура ПАЗ



## Исходные данные для расчета PFD подсистемы подключения датчиков

Обозначение	№ СФЦ ДН	Элемент	Производитель	Ls (FIT)	Ldd (FIT)	Ldu (FIT)	MTBF (г)	PFD расч
D1, D2	101, 106	Датчик уровня	VEGA	7	0	35	358	1.53E-04
Б1, Б2	102, 107	Барьер	MTL	116	210	17		7.45E-05
AI-1, AI-2	103, 108	Модуль AI	Siemens				26.5	4.72E-03
IM1.1-IM2.2	104,105, 109,110	Интерф.модуль	Siemens				106	1.18E-03

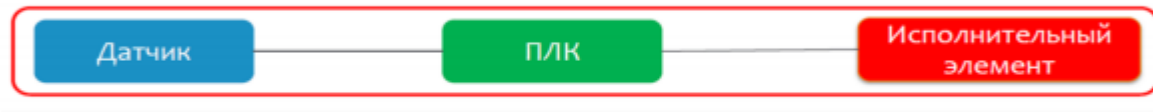
## Исходные данные для расчета PFD подсистемы ПЛК

Обозначение	№ СФЦ ДН	Элемент	Производитель	Ls (FIT)	Ldd (FIT)	Ldu (FIT)	MTBF (г)	PFD расч
CPU1,CPU2	111, 112	ПЛК	Siemens				30	4.167E-03

## Исходные данные для расчета PFD подсистемы подключения ИМ

Обозначение	№ СФЦ ДН	Элемент	Производитель	Ls (FIT)	Ldd (FIT)	Ldu (FIT)	MTBF (г)	PFD	PFD расч
D01, D02	115, 120	Модуль DO	Siemens					2.0·E-9 (1/ч)	1.53E-04
P1, P2	116, 121	Реле	GM				113		1.11E-03
ИМ1, ИМ2	117, 122	Привод	Auma			647			4.72E-03
ИМ3.1-ИМ4.2	113,114, 118,119	Интерф.модуль	Siemens				106		1.18E-03

## ГОСТ Р МЭК 61511-2

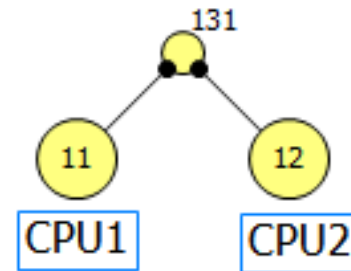


$$PFD_{\text{контур}} = PFD_{\text{датчик}} + PFD_{\text{ПЛК}} + PFD_{\text{Испол. Элемент}}$$

### Подсистема ПЛК (архитектура 1oo2)

ДН:  
Подсистема ПЛК

1. Составление СФЦ в виде ДН



2. Формирование группы ООП и ввод параметров бета-модели

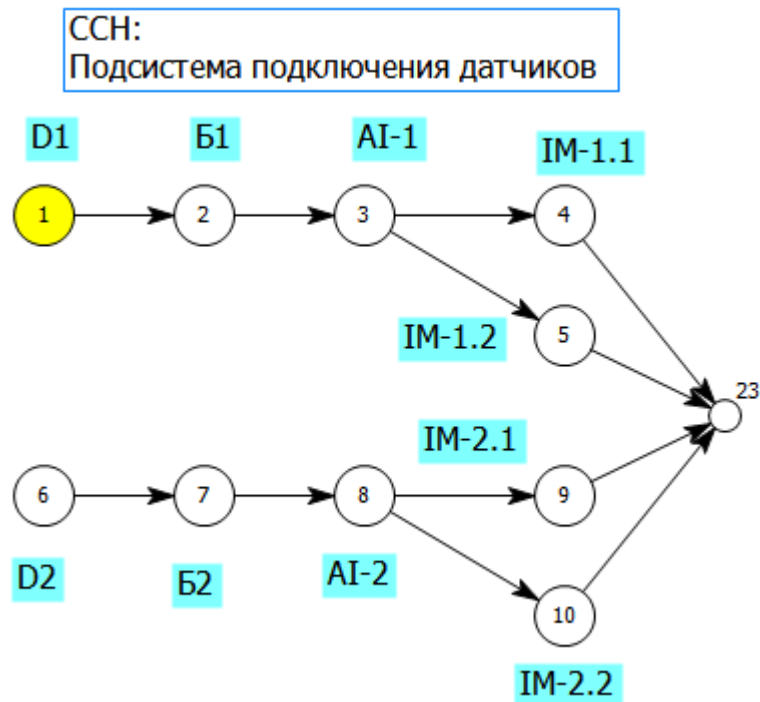
Элемент	Вероятность отказа
11	0.004167
12	0.004167

Элемент	Вероятность отказа
11	0.004167
12	0.004167

3. Расчет по критерию  $y_{132}$  :   $PFD_{\text{плк}} = 1,0 \cdot E-04$  (1/год)

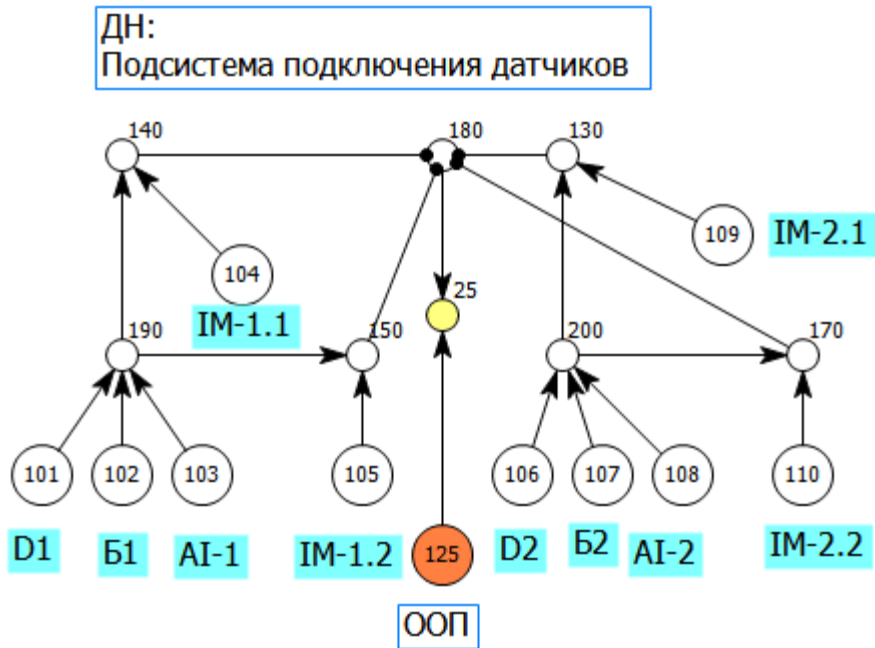
# Подсистема подключения датчиков (канальная архитектура 1002)

## 1. Составление СФЦ в виде ССН



## 2. Решение по инверсному критерию $y^{23}$ и формирование минимальных сечений отказов

### 3. Составление СФЦ в виде ДН с учетом модели ООП



Расчет вероятностей отказов по общей причине

Множественные греческие буквы | Альфа-фактор | Бета-фактор

Число элементов группы ООП  $n = 2$

Полная вероятность отказа одного элемента группы ООП  $Q_{tot} = 7.45E-5$

Бета-фактор  $\beta = 0.05$

**Вычислить**

Вероятности  $Q_k$  базовых событий ООП :

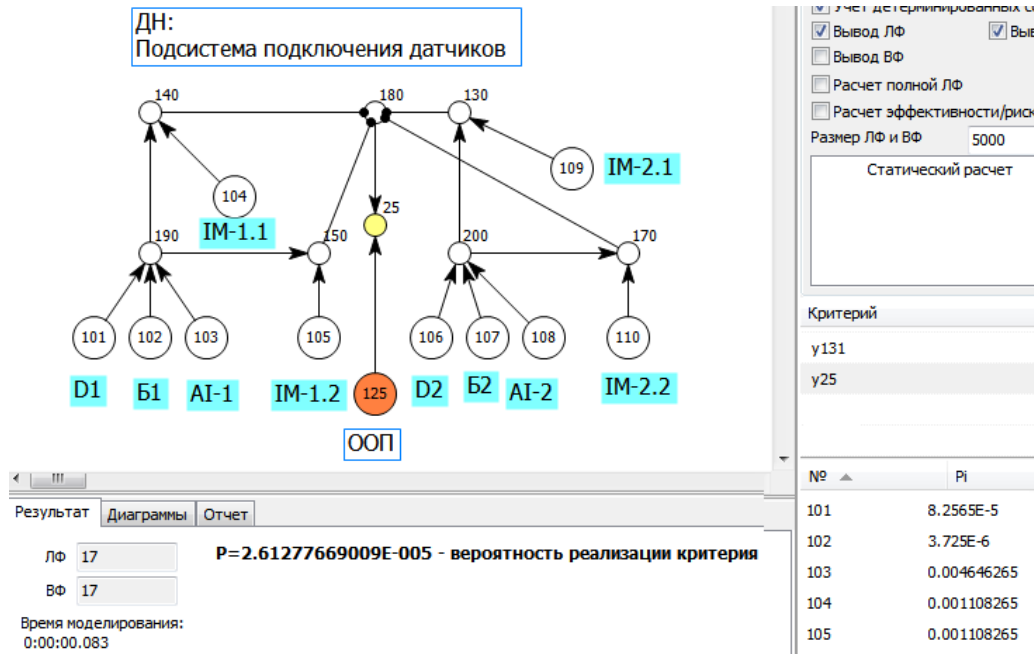
k	$N_k = k/n$	$Q_k$
1	2	7.0775E-5
2	1	3.725E-6

### 4. Расчет параметров группы ООП. Базовым элементов является элемент с минимальным значением PFD

## 5. Пересчет значений PFD элементов с учетом модели CCF

Обозначение	№ вершин	Элемент	PFD расч 1 год	CCF=b*minPFD	dCCF	<b>PFD-dCCF</b>
D1, D2	101, 106	Датчик уровня	1.53E-04			8.26E-05
Б1, Б2	102, 107	Барьер	7.45E-05	3.73E-06	7.0735E-05	3.73E-06
AI-1, AI-2	103, 108	Модуль AI	4.72E-03			4.65E-03
IM1.1-IM1.4	104,105, 109,110	Интерф.модуль	1.18E-03			1.11E-03

## 6. Ввод значений PFD элементов и расчет по критерию y25:



**PFD<sub>пд</sub>=2.61E-05**

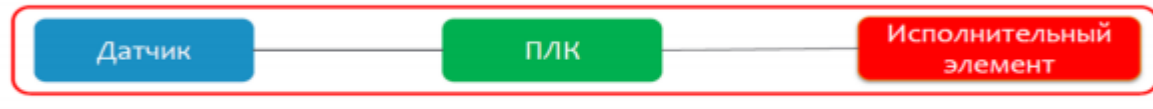
## Подсистема подключения исполнительных механизмов (канальная архитектура 1002)

1. Составление СФЦ в виде ССН
2. Решение ССН по инверсному критерию и формирование минимальных сечений отказов
3. Составление СФЦ в виде ДН с учетом модели ООП
4. Расчет параметров группы ООП
5. Пересчет значений PFD элементов с учетом модели ССФ
6. Ввод значений PFD элементов и расчет по системному критерию.

$PFD_{пд} = 1.63E-05$

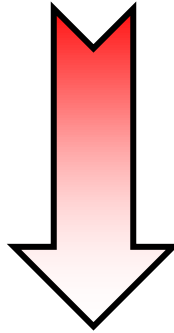


## ГОСТ Р МЭК 61511-2



$$PFD_{\text{контур}} = PFD_{\text{датчик}} + PFD_{\text{ПЛК}} + PFD_{\text{Испол. Элемент}}$$

$$PFD_{\text{контур}} = 2.61\text{E-}05 + 1.00\text{E-}04 + 1.63\text{E-}05 = 1.26\text{E-}04$$



УПБ = 3



Доклад закончен, спасибо за внимание!

Можаева Ирина Александровна

Струков Александр Владимирович